

DE LA RECHERCHE À L'INDUSTRIE



Modèle simplifié d'interface table vibrante/maquette

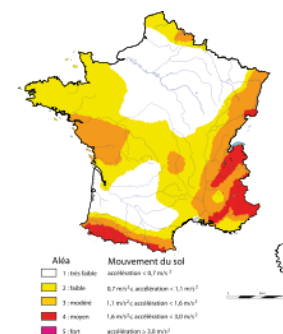
Alberto FRAU

Benjamin RICHARD

CEA, DEN, DANS, DM2S, SEMT Laboratoire d'Etudes de Mécanique
Sismique, Gif-sur-Yvette, F-91191.

Contexte

- Revaluation de sureté des INB & INBS depuis 2011
- REX suite aux évènements de Fukushima-Daiichi NPP:
 - Evaluations complémentaires de sureté (ECS) demandées par la Commission Européenne;
 - Composantes des évaluations complémentaires : le risque sismique.



Un besoin experimental

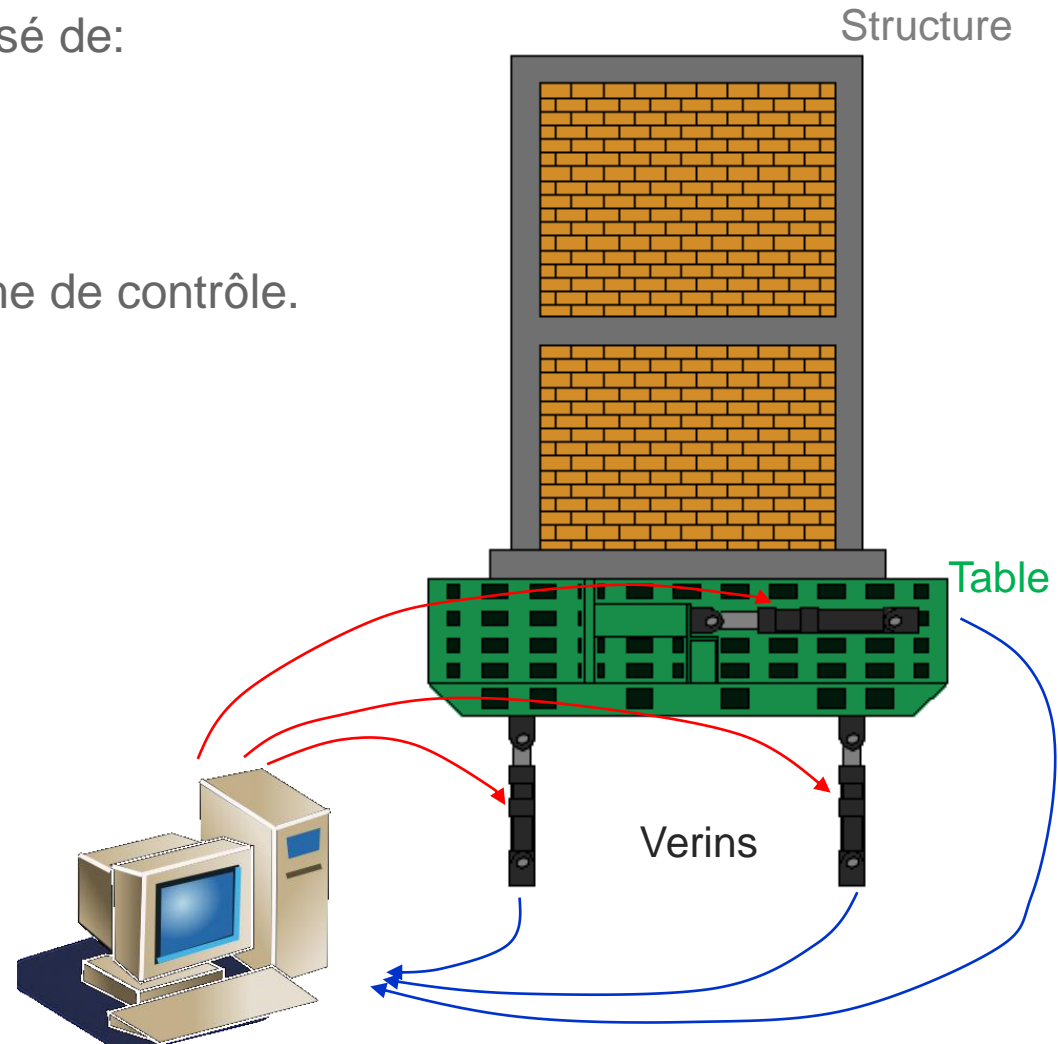
- Les tables vibrantes offrent un outil puissant pour évaluer le comportement sismique des structures;
- Les forces d'inertie sont prises en compte naturellement



- L'interprétation des essais expérimentaux nécessite une description précise des conditions au limites et de fixation d'une maquette sur la table vibrante

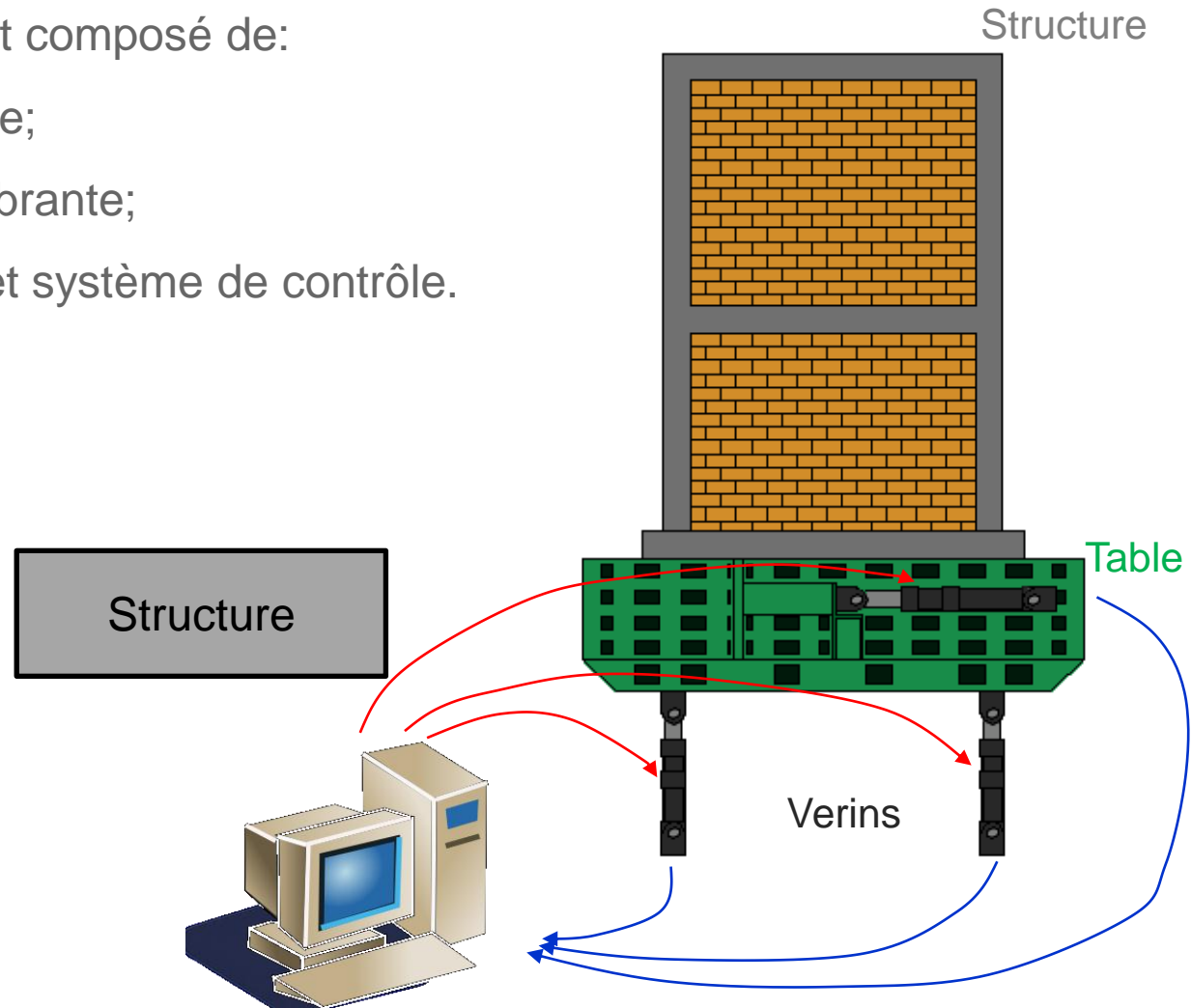
Essai sur table vibrante en temps réel

- Le système est composé de:
 - Structure;
 - Table vibrante;
 - Vérins et système de contrôle.



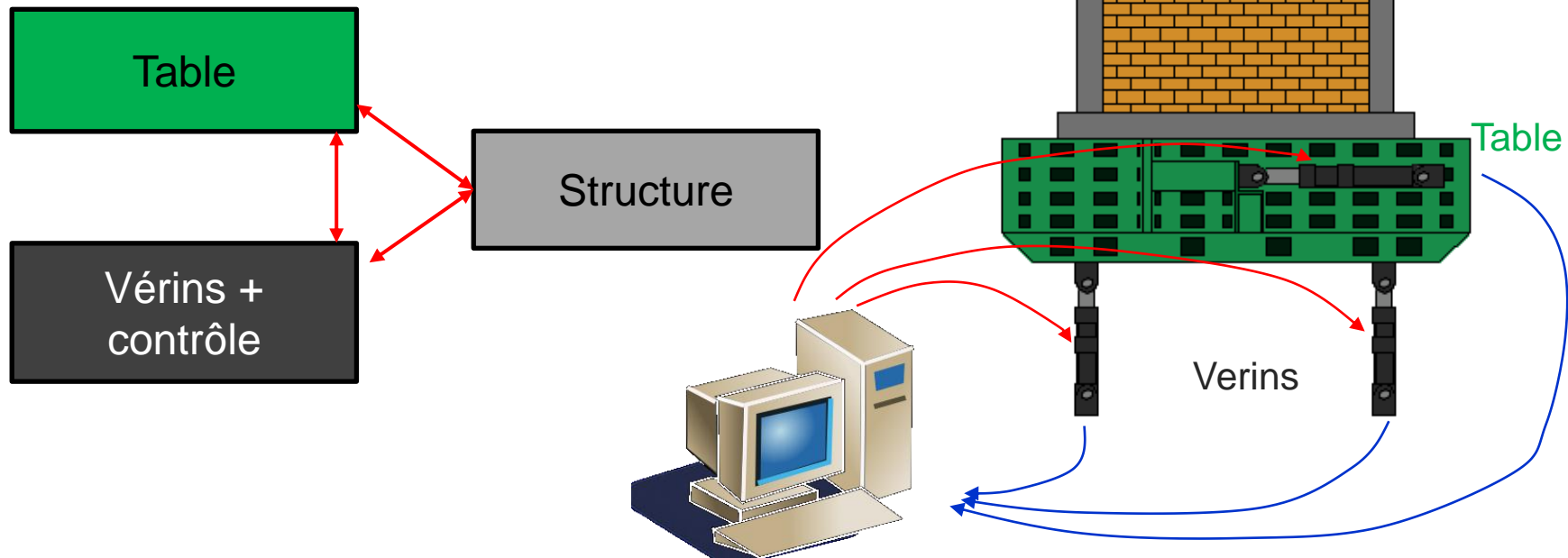
Essai sur table vibrante en temps réel

- Le système est composé de:
 - Structure;
 - Table vibrante;
 - Vérins et système de contrôle.



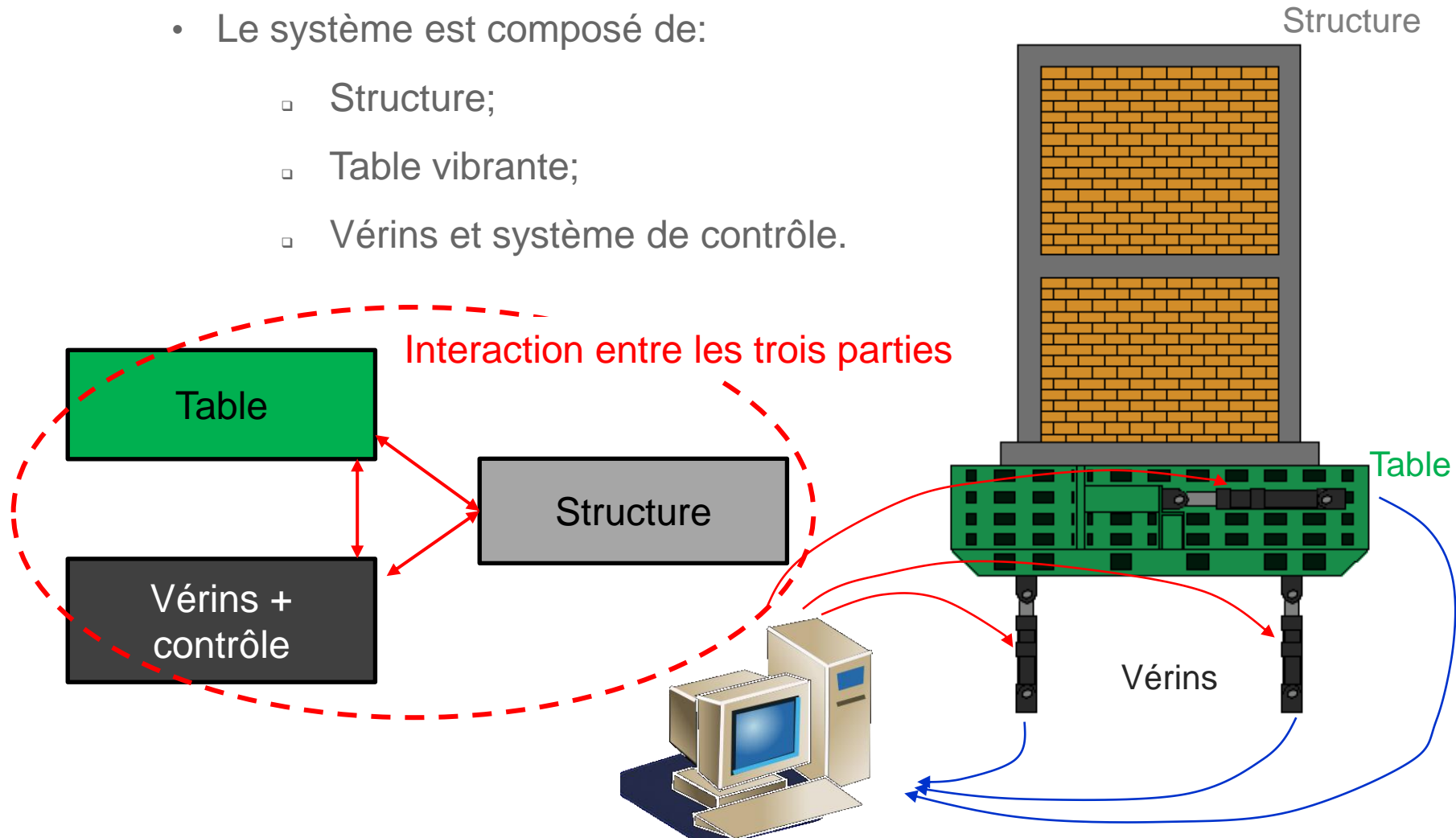
Essai sur table vibrante en temps réel

- Le système est composé de:
 - Structure;
 - Table vibrante;
 - Vérins et système de contrôle.



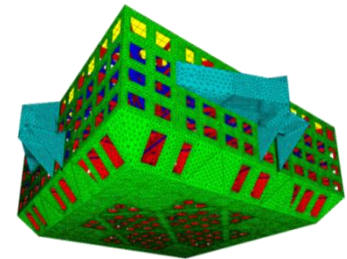
Essai sur table vibrante en temps réel

- Le système est composé de:
 - Structure;
 - Table vibrante;
 - Vérins et système de contrôle.



Histoire de l'installation TAMARIS

- 1990 : 1^{er} essai 1990;
- 1996: Premières campagnes expérimentales à une échelle plus importante (CASSBA; CAMUS);
- 1998: Première étude pour considérer les effets de couplage table-maquette;
- 2005-2008: Modèle FEM de la table AZALEE [Le Maout et al, 2006]
- 2013... : Modèle simplifié

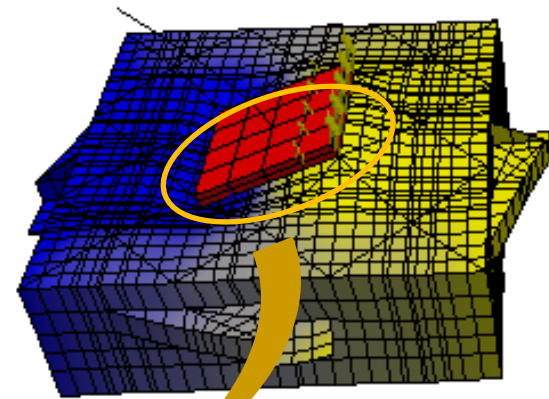
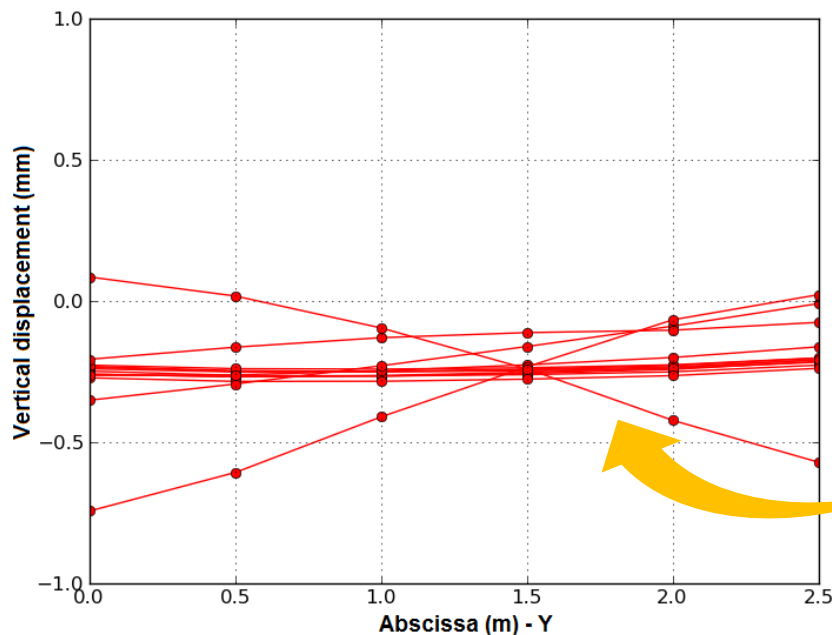


Observations

- Effet Globale: chute des fréquences propres

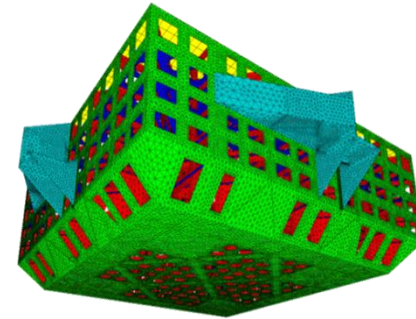
Maquette à base encastrée	Maquette fixée à la table
8.98 Hz	6.78 Hz

- Effet mécanique: déformation de la table vibrante



Stratégie de modélisation

- La table vibrante est modélisée explicitement dans les simulations numériques par une modèle “full FEM”



Conséquence

- Le temps de calcul augmente !!!

Objectifs

- Proposer une approche simplifiée permettant de condenser le comportement de la table vibrante à l'interface table/maquette
- Proposer une stratégie d'identification efficace et automatisable

PARTIE 1
CADRE THEORIQUE : APPROCHE
PAR SOUS STRUCTURATION

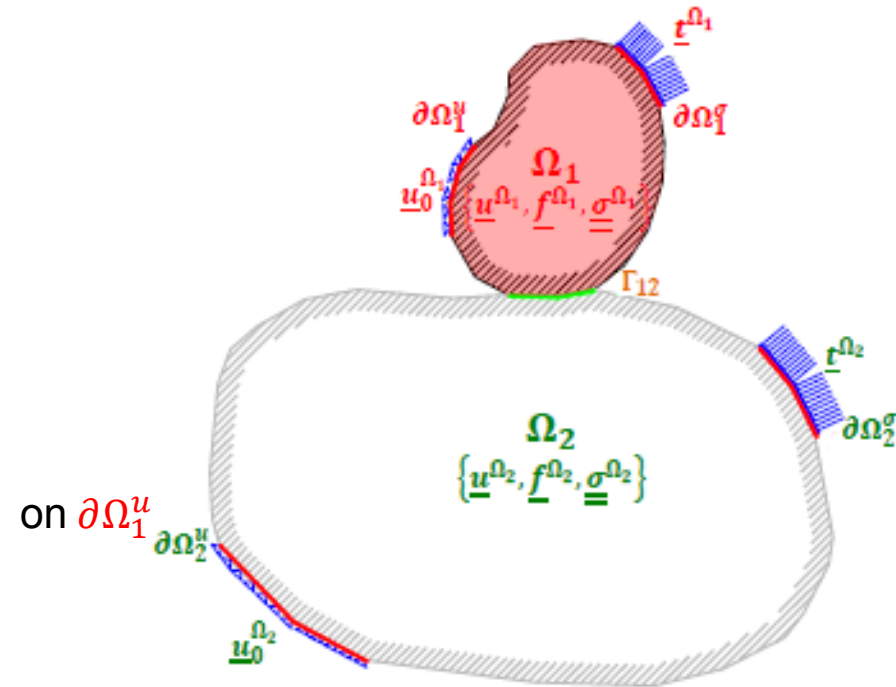
Equation du mouvement

Equation d'équilibre :

$$\operatorname{div}(\underline{\underline{\sigma}}^{\Omega_1}) + \underline{\underline{f}}^{\Omega_1} = \rho^{\Omega_1} \underline{\underline{\ddot{u}}}^{\Omega_1} \text{ in } \Omega_1$$

Conditions aux limites :

$$\underline{\underline{\sigma}}^{\Omega_1} \underline{\underline{n}} = \underline{\underline{t}}^{\Omega_1} \quad \text{on } \partial\Omega_1^\sigma \quad \underline{\underline{u}}^{\Omega_1} = \underline{\underline{u}}_0^{\Omega_1} \quad \text{on } \partial\Omega_1^u$$



Equation du mouvement

Equation d'équilibre :

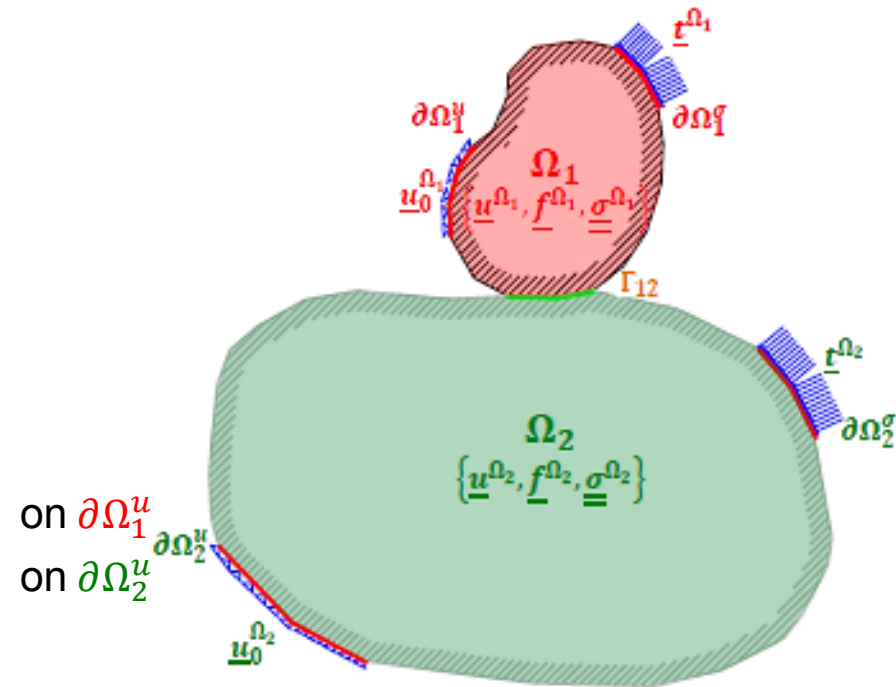
$$\operatorname{div}(\underline{\underline{\sigma}}^{\Omega_1}) + \underline{\underline{f}}^{\Omega_1} = \rho^{\Omega_1} \underline{\underline{\dot{u}}}^{\Omega_1} \text{ in } \Omega_1$$

$$\operatorname{div}(\underline{\underline{\sigma}}^{\Omega_2}) + \underline{\underline{f}}^{\Omega_2} = \rho^{\Omega_2} \underline{\underline{\dot{u}}}^{\Omega_2} \text{ in } \Omega_2$$

Conditions aux limites :

$$\underline{\underline{\sigma}}^{\Omega_1} \underline{\underline{n}} = \underline{\underline{t}}^{\Omega_1} \quad \text{on } \partial\Omega_1^\sigma \quad \underline{\underline{u}}^{\Omega_1} = \underline{\underline{u}}_0^{\Omega_1} \quad \text{on } \partial\Omega_1^u$$

$$\underline{\underline{\sigma}}^{\Omega_2} \underline{\underline{n}} = \underline{\underline{t}}^{\Omega_2} \quad \text{on } \partial\Omega_2^\sigma \quad \underline{\underline{u}}^{\Omega_2} = \underline{\underline{u}}_0^{\Omega_2} \quad \text{on } \partial\Omega_2^u$$



Equation du mouvement

Equation d'équilibre:

$$\operatorname{div}(\underline{\underline{\sigma}}^{\Omega_1}) + \underline{\underline{f}}^{\Omega_1} = \rho^{\Omega_1} \underline{\underline{\dot{u}}}^{\Omega_1} \text{ in } \Omega_1$$

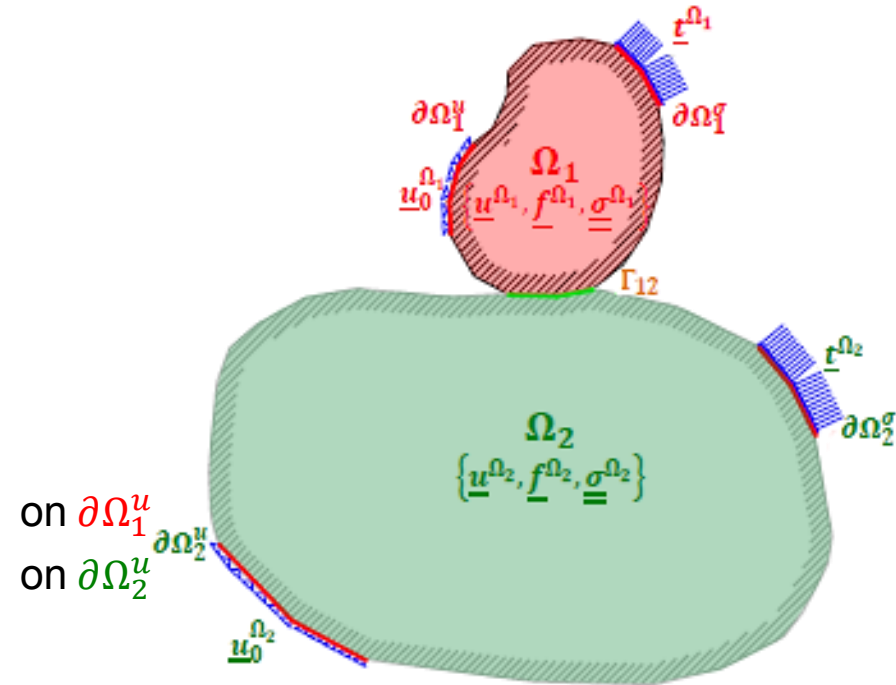
$$\operatorname{div}(\underline{\underline{\sigma}}^{\Omega_2}) + \underline{\underline{f}}^{\Omega_2} = \rho^{\Omega_2} \underline{\underline{\dot{u}}}^{\Omega_2} \text{ in } \Omega_2$$

Conditions aux limites :

$$\underline{\underline{\sigma}}^{\Omega_1} \underline{\underline{n}} = \underline{\underline{t}}^{\Omega_1} \quad \text{on } \partial\Omega_1^\sigma \quad \underline{\underline{u}}^{\Omega_1} = \underline{\underline{u}}_0^{\Omega_1} \quad \text{on } \partial\Omega_1^u$$

$$\underline{\underline{\sigma}}^{\Omega_2} \underline{\underline{n}} = \underline{\underline{t}}^{\Omega_2} \quad \text{on } \partial\Omega_2^\sigma \quad \underline{\underline{u}}^{\Omega_2} = \underline{\underline{u}}_0^{\Omega_2} \quad \text{on } \partial\Omega_2^u$$

$$\underline{\underline{\sigma}}^{\Omega_1} \underline{\underline{n}} = -\underline{\underline{\sigma}}^{\Omega_2} \underline{\underline{n}} \quad \text{on } \Gamma_{12}$$



Equation du mouvement

Equation d'équilibre:

$$\operatorname{div}(\underline{\underline{\sigma}}^{\Omega_1}) + \underline{\underline{f}}^{\Omega_1} = \rho^{\Omega_1} \underline{\underline{\dot{u}}}^{\Omega_1} \text{ in } \Omega_1$$

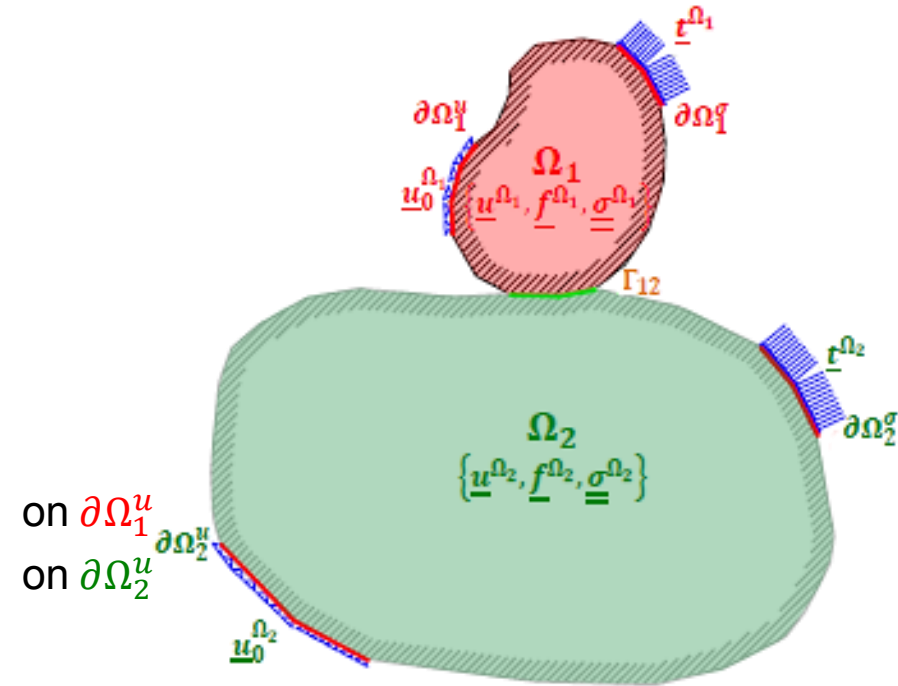
$$\operatorname{div}(\underline{\underline{\sigma}}^{\Omega_2}) + \underline{\underline{f}}^{\Omega_2} = \rho^{\Omega_2} \underline{\underline{\dot{u}}}^{\Omega_2} \text{ in } \Omega_2$$

Conditions aux limites :

$$\underline{\underline{\sigma}}^{\Omega_1} \underline{\underline{n}} = \underline{\underline{t}}^{\Omega_1} \quad \text{on } \partial\Omega_1^\sigma \quad \underline{\underline{u}}^{\Omega_1} = \underline{\underline{u}}_0^{\Omega_1} \quad \text{on } \partial\Omega_1^u$$

$$\underline{\underline{\sigma}}^{\Omega_2} \underline{\underline{n}} = \underline{\underline{t}}^{\Omega_2} \quad \text{on } \partial\Omega_2^\sigma \quad \underline{\underline{u}}^{\Omega_2} = \underline{\underline{u}}_0^{\Omega_2} \quad \text{on } \partial\Omega_2^u$$

$$\underline{\underline{\sigma}}^{\Omega_1} \underline{\underline{n}} = -\underline{\underline{\sigma}}^{\Omega_2} \underline{\underline{n}} \quad \text{on } \Gamma_{12}$$



$$\begin{aligned} & \frac{\partial^2}{\partial t^2} \int_{\Omega_1} \rho^{\Omega_1} \underline{\underline{u}}^{\Omega_1} \cdot \underline{\underline{v}}^{\Omega_1} d\Omega + \frac{\partial^2}{\partial t^2} \int_{\Omega_2} \rho^{\Omega_2} \underline{\underline{u}}^{\Omega_2} \cdot \underline{\underline{v}}^{\Omega_2} d\Omega + \int_{\Omega_1} \underline{\underline{\sigma}}(\underline{\underline{u}}^{\Omega_1}) : \underline{\underline{\epsilon}}(\underline{\underline{v}}^{\Omega_1}) d\Omega \\ & + \int_{\Omega_2} \underline{\underline{\sigma}}(\underline{\underline{u}}^{\Omega_2}) : \underline{\underline{\epsilon}}(\underline{\underline{v}}^{\Omega_2}) d\Omega = \int_{\partial\Omega_1^\sigma} \underline{\underline{t}}^{\Omega_1} \cdot \underline{\underline{v}}^{\Omega_1} d\Gamma + \int_{\partial\Omega_2^\sigma} \underline{\underline{t}}^{\Omega_2} \cdot \underline{\underline{v}}^{\Omega_2} d\Gamma + \\ & + \int_{\partial\Omega_1^u} \underline{\underline{R}}^{\partial\Omega_1^u}(\underline{\underline{u}}^{\Omega_1}) \cdot \underline{\underline{v}}^{\Omega_1} d\Gamma + \int_{\partial\Omega_2^u} \underline{\underline{R}}^{\partial\Omega_2^u}(\underline{\underline{u}}^{\Omega_2}) \cdot \underline{\underline{v}}^{\Omega_2} d\Gamma + \\ & + \int_{\Gamma_{12}} \underline{\underline{R}}^{\Gamma_{12}}(\underline{\underline{u}}^{\Omega_1} - \underline{\underline{u}}^{\Omega_2}) \cdot (\underline{\underline{v}}^{\Omega_1} - \underline{\underline{v}}^{\Omega_2}) d\Gamma \end{aligned}$$

Approche proposée

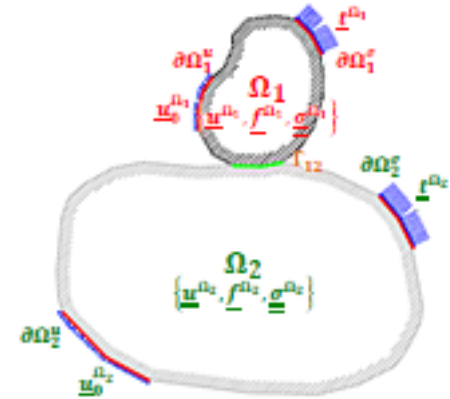
Equation d'équilibre – forme discrétisée :

$$M\ddot{\mathbf{u}} + C\dot{\mathbf{u}} + K\mathbf{u} = \mathbf{F}_{ext}$$

where $M, C, K \in \mathcal{M}(n_{DoF}, n_{DoF})$

$$\mathbf{u} \in \mathcal{M}(n_{DoF}, 1)$$

n_{DoF} est le nombre de DDL



Approche proposée

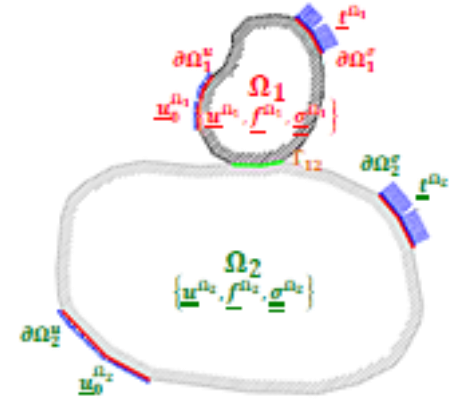
Equation d'équilibre – forme discrétisée :

$$M\ddot{\mathbf{u}} + C\dot{\mathbf{u}} + K\mathbf{u} = \mathbf{F}_{ext}$$

where $M, C, K \in \mathcal{M}(n_{DoF}, n_{DoF})$

$$\mathbf{u} \in \mathcal{M}(n_{DoF}, 1)$$

n_{DoF} est le nombre de DDL



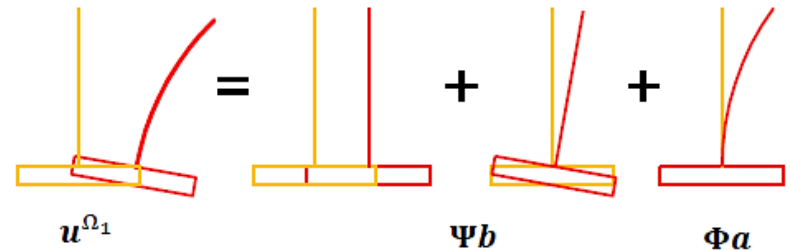
En projetant sur la base des modes à base encastree et d'interface :

$$\mathbf{u}^{\Omega_1} = \Phi \mathbf{a} + \Psi \mathbf{b}$$

où $\mathbf{a} \in \mathcal{M}(n_{bf}^{\Omega_1}, 1)$, $\mathbf{b} \in \mathcal{M}(n_{in}^{\Omega_1}, 1)$

$$\Phi \in \mathcal{M}(n_{DoF}^{\Omega_1}, n_{bf}^{\Omega_1})$$

$$\Psi \in \mathcal{M}(n_{DoF}^{\Omega_1}, n_{in}^{\Omega_1})$$



$$\Phi = \begin{bmatrix} \phi_1 & \phi_2 & \cdots & \phi_i & \cdots & \phi_{n_{bf}^{\Omega_1}} \end{bmatrix}$$

$$\Psi = \begin{bmatrix} \psi_1 & \psi_2 & \cdots & \psi_i & \cdots & \psi_{n_{in}^{\Omega_1}} \end{bmatrix}$$

où ϕ_i est le i-eme mode à base encastree

où ψ_i est le i-eme mode d'interface

Approche proposée

Equation d'équilibre dans le domaine fréquentielle :

$$\begin{cases} \left(\mathbf{K}_{bfbf}^{\Omega_1} - \omega^2 \mathbf{M}_{bfbf}^{\Omega_1} + i\omega \mathbf{C}_{bfbf}^{\Omega_1} \right) \mathbf{a} + \left(-\omega^2 \mathbf{M}_{bf in}^{\Omega_1} + i\omega \mathbf{C}_{bf in}^{\Omega_1} \right) \mathbf{b} = \mathbf{F}_{ext}^{bf} \\ \left(\mathbf{K}_{inin}^{\Omega_1} - \omega^2 \mathbf{M}_{inin}^{\Omega_1} + i\omega \mathbf{C}_{inin}^{\Omega_1} + \mathbf{K}^{int}(\omega) \right) \mathbf{b} + \left(-\omega^2 \left(\mathbf{M}_{bf in}^{\Omega_1} \right)^t + i\omega \left(\mathbf{C}_{bf in}^{\Omega_1} \right)^t \right) \mathbf{a} = \mathbf{F}_{ext}^{in} \end{cases}$$

Approche proposée

Equation d'équilibre dans le domaine fréquentielle:

$$\begin{cases} \left(\mathbf{K}_{bfbf}^{\Omega_1} - \omega^2 \mathbf{M}_{bfbf}^{\Omega_1} + i\omega \mathbf{C}_{bfbf}^{\Omega_1} \right) \mathbf{a} + \left(-\omega^2 \mathbf{M}_{bfin}^{\Omega_1} + i\omega \mathbf{C}_{bfin}^{\Omega_1} \right) \mathbf{b} = \mathbf{F}_{ext}^{bf} \\ \left(\mathbf{K}_{inin}^{\Omega_1} - \omega^2 \mathbf{M}_{inin}^{\Omega_1} + i\omega \mathbf{C}_{inin}^{\Omega_1} + \mathbf{K}^{int}(\omega) \right) \mathbf{b} + \left(-\omega^2 \left(\mathbf{M}_{bfin}^{\Omega_1} \right)^t + i\omega \left(\mathbf{C}_{bfin}^{\Omega_1} \right)^t \right) \mathbf{a} = \mathbf{F}_{ext}^{in} \end{cases}$$

où $\mathbf{K}_{bfbf}^{\Omega_1}, \mathbf{M}_{bfbf}^{\Omega_1}, \mathbf{C}_{bfbf}^{\Omega_1} \in \mathcal{M}(n_{bf}^{\Omega_1}, n_{bf}^{\Omega_1})^3$
 $\mathbf{K}_{inin}^{\Omega_1}, \mathbf{M}_{inin}^{\Omega_1}, \mathbf{C}_{inin}^{\Omega_1} \in \mathcal{M}(n_{in}^{\Omega_1}, n_{in}^{\Omega_1})^3$
 $\mathbf{M}_{bfin}^{\Omega_1}, \mathbf{C}_{bfin}^{\Omega_1} \in \mathcal{M}(n_{bf}^{\Omega_1}, n_{in}^{\Omega_1})^2$

Approche proposée

Equation d'équilibre dans le domaine fréquentielle:

$$\begin{cases} \left(\mathbf{K}_{bfbf}^{\Omega_1} - \omega^2 \mathbf{M}_{bfbf}^{\Omega_1} + i\omega \mathbf{C}_{bfbf}^{\Omega_1} \right) \mathbf{a} + \left(-\omega^2 \mathbf{M}_{bf in}^{\Omega_1} + i\omega \mathbf{C}_{bf in}^{\Omega_1} \right) \mathbf{b} = \mathbf{F}_{ext}^{bf} \\ \left(\mathbf{K}_{inin}^{\Omega_1} - \omega^2 \mathbf{M}_{inin}^{\Omega_1} + i\omega \mathbf{C}_{inin}^{\Omega_1} + \mathbf{K}^{int}(\omega) \right) \mathbf{b} + \left(-\omega^2 \left(\mathbf{M}_{bf in}^{\Omega_1} \right)^t + i\omega \left(\mathbf{C}_{bf in}^{\Omega_1} \right)^t \right) \mathbf{a} = \mathbf{F}_{ext}^{in} \end{cases}$$

où $\mathbf{K}_{bfbf}^{\Omega_1}, \mathbf{M}_{bfbf}^{\Omega_1}, \mathbf{C}_{bfbf}^{\Omega_1} \in \mathcal{M}(n_{bf}^{\Omega_1}, n_{bf}^{\Omega_1})^3$

$$\mathbf{K}_{inin}^{\Omega_1}, \mathbf{M}_{inin}^{\Omega_1}, \mathbf{C}_{inin}^{\Omega_1} \in \mathcal{M}(n_{in}^{\Omega_1}, n_{in}^{\Omega_1})^3$$

$$\mathbf{M}_{bf in}^{\Omega_1}, \mathbf{C}_{bf in}^{\Omega_1} \in \mathcal{M}(n_{bf}^{\Omega_1}, n_{in}^{\Omega_1})^2$$

$\mathbf{K}^{int}(\omega)$ représente le comportement de l'interface Γ_{12}

Approche proposée

Equation d'équilibre dans le domaine fréquentielle:

$$\begin{cases} \left(\mathbf{K}_{bfbf}^{\Omega_1} - \omega^2 \mathbf{M}_{bfbf}^{\Omega_1} + i\omega \mathbf{C}_{bfbf}^{\Omega_1} \right) \mathbf{a} + \left(-\omega^2 \mathbf{M}_{bfin}^{\Omega_1} + i\omega \mathbf{C}_{bfin}^{\Omega_1} \right) \mathbf{b} = \mathbf{F}_{ext}^{bf} \\ \left(\mathbf{K}_{inin}^{\Omega_1} - \omega^2 \mathbf{M}_{inin}^{\Omega_1} + i\omega \mathbf{C}_{inin}^{\Omega_1} + \mathbf{K}^{int}(\omega) \right) \mathbf{b} + \left(-\omega^2 \left(\mathbf{M}_{bfin}^{\Omega_1} \right)^t + i\omega \left(\mathbf{C}_{bfin}^{\Omega_1} \right)^t \right) \mathbf{a} = \mathbf{F}_{ext}^{in} \end{cases}$$

où $\mathbf{K}_{bfbf}^{\Omega_1}, \mathbf{M}_{bfbf}^{\Omega_1}, \mathbf{C}_{bfbf}^{\Omega_1} \in \mathcal{M}(n_{bf}^{\Omega_1}, n_{bf}^{\Omega_1})^3$

$$\mathbf{K}_{inin}^{\Omega_1}, \mathbf{M}_{inin}^{\Omega_1}, \mathbf{C}_{inin}^{\Omega_1} \in \mathcal{M}(n_{in}^{\Omega_1}, n_{in}^{\Omega_1})^3$$

$$\mathbf{M}_{bfin}^{\Omega_1}, \mathbf{C}_{bfin}^{\Omega_1} \in \mathcal{M}(n_{bf}^{\Omega_1}, n_{in}^{\Omega_1})^2$$

$\mathbf{K}^{int}(\omega)$ représente le comportement de l'interface Γ_{12}

Pour un mouvement de corps rigide de l'interface, on obtient:

$$\boxed{\begin{cases} \left(\mathbf{K}_{bfbf}^{\Omega_1} - \omega^2 \mathbf{M}_{bfbf}^{\Omega_1} + i\omega \mathbf{C}_{bfbf}^{\Omega_1} \right) \mathbf{a} + \left(-\omega^2 \mathbf{M}_{bfin}^{\Omega_1} \right) \mathbf{b} = \mathbf{F}_{ext}^{bf} \\ \left(\mathbf{K}^{int}(\omega) - \omega^2 \mathbf{M}_{inin}^{\Omega_1} \right) \mathbf{b} + \left(-\omega^2 \left(\mathbf{M}_{bfin}^{\Omega_1} \right)^t \right) \mathbf{a} = \mathbf{F}_{ext}^{in} \end{cases}} \quad \begin{cases} \left[\mathbf{K}_{bfbf}^{\Omega_1} \right]_{ij} = \delta_{ij} \left(\omega_{\phi_i}^{\Omega_1} \right)^2 ; \\ \left[\mathbf{M}_{bfbf}^{\Omega_1} \right]_{ij} = \delta_{ij} \end{cases}$$

Approche proposée

$$\begin{cases} \left(\mathbf{K}_{bfbf}^{\Omega_1} - \omega^2 \mathbf{M}_{bfbf}^{\Omega_1} + i\omega \mathbf{C}_{bfbf}^{\Omega_1} \right) \mathbf{a} + \left(-\omega^2 \mathbf{M}_{bfin}^{\Omega_1} \right) \mathbf{b} = \mathbf{F}_{ext}^{bf} \\ \left(\mathbf{K}^{int}(\omega) - \omega^2 \mathbf{M}_{inin}^{\Omega_1} \right) \mathbf{b} + \left(-\omega^2 \left(\mathbf{M}_{bfin}^{\Omega_1} \right)^t \right) \mathbf{a} = \mathbf{F}_{ext}^{in} \end{cases}$$

où:

$$\mathbf{M}_{inin}^{\Omega_1} = \begin{bmatrix} M_{tot}^{\Omega_1} & 0 & 0 & 0 & -M_{tot}^{\Omega_1}(d_G^{e3}) & -M_{tot}^{\Omega_1}(d_G^{e1}) \\ & M_{tot}^{\Omega_1} & 0 & M_{tot}^{\Omega_1}(d_G^{e3}) & 0 & M_{tot}^{\Omega_1}(d_G^{e2}) \\ & & M_{tot}^{\Omega_1} & -M_{tot}^{\Omega_1}(d_G^{e2}) & M_{tot}^{\Omega_1}(d_G^{e1}) & 0 \\ & & & I_{e1}^{\Omega_1} & 0 & 0 \\ & & & & I_{e2}^{\Omega_1} & 0 \\ & & & & & I_{e3}^{\Omega_1} \end{bmatrix}$$

sym

$$\begin{aligned} \left[\mathbf{K}_{bfbf}^{\Omega_1} \right]_{ij} &= \delta_{ij} \left(\omega_{\phi_i}^{\Omega_1} \right)^2 ; \\ \left[\mathbf{M}_{bfbf}^{\Omega_1} \right]_{ij} &= \delta_{ij} \end{aligned}$$

Approche proposée

$$\begin{cases} \left(\mathbf{K}_{bfbf}^{\Omega_1} - \omega^2 \mathbf{M}_{bfbf}^{\Omega_1} + i\omega \mathbf{C}_{bfbf}^{\Omega_1} \right) \mathbf{a} + \left(-\omega^2 \mathbf{M}_{bfin}^{\Omega_1} \right) \mathbf{b} = \mathbf{F}_{ext}^{bf} \\ \left(\mathbf{K}^{int}(\omega) - \omega^2 \mathbf{M}_{inin}^{\Omega_1} \right) \mathbf{b} + \left(-\omega^2 \left(\mathbf{M}_{bfin}^{\Omega_1} \right)^t \right) \mathbf{a} = \mathbf{F}_{ext}^{in} \end{cases}$$

où:

$$\mathbf{M}_{inin}^{\Omega_1} = \begin{bmatrix} M_{tot}^{\Omega_1} & 0 & 0 & 0 & -M_{tot}^{\Omega_1}(d_G^{e3}) & -M_{tot}^{\Omega_1}(d_G^{e1}) \\ & M_{tot}^{\Omega_1} & 0 & M_{tot}^{\Omega_1}(d_G^{e3}) & 0 & M_{tot}^{\Omega_1}(d_G^{e2}) \\ & & M_{tot}^{\Omega_1} & -M_{tot}^{\Omega_1}(d_G^{e2}) & M_{tot}^{\Omega_1}(d_G^{e1}) & 0 \\ & & & I_{e1}^{\Omega_1} & 0 & 0 \\ & & & & I_{e2}^{\Omega_1} & 0 \\ & & & & & I_{e3}^{\Omega_1} \end{bmatrix} \quad \begin{cases} \left[\mathbf{K}_{bfbf}^{\Omega_1} \right]_{ij} = \delta_{ij} \left(\omega_{\phi_i}^{\Omega_1} \right)^2 ; \\ \left[\mathbf{M}_{bfbf}^{\Omega_1} \right]_{ij} = \delta_{ij} \end{cases}$$

[sym]

Le problème peut être écrit sur la forme suivante :

$$\left\{ \delta_{ij} \left[\left(\omega_{\phi_i}^{\Omega_1} \right)^2 \left(1 + 2i\omega \xi_{\phi_i} \right) - \omega^2 \right] - \left[\left(\omega^4 \mathbf{M}_{bfin}^{\Omega_1} \right) \left(\mathbf{C}^{-1}(\omega) \right) \left(\mathbf{M}_{bfin}^{\Omega_1} \right)^t \right]_{ij} \right\} a_j =$$

où: $\mathbf{C}(\omega) = \left(\mathbf{K}^{int}(\omega) - \omega^2 \mathbf{M}_{inin}^{\Omega_1} \right) \quad \left[\mathbf{F}_{ext}^{bf} + \left(\omega^2 \mathbf{M}_{bfin}^{\Omega_1} \right) \left(\mathbf{C}^{-1}(\omega) \right) \mathbf{F}_{ext}^{in} \right]_i$

Approche proposée

$$\left\{ \delta_{ij} \left[\left(\omega_{\phi_i}^{\Omega_1} \right)^2 (1 + 2i\omega\xi_{\phi_i}) - \omega^2 \right] - \left[\left(\omega^4 \mathbf{M}_{bfin}^{\Omega_1} \right) (\mathbf{C}^{-1}(\omega)) \left(\mathbf{M}_{bfin}^{\Omega_1} \right)^t \right]_{ij} \right\} a_j = \left[\mathbf{F}_{ext}^{bf} + \left(\omega^2 \mathbf{M}_{bfin}^{\Omega_1} \right) (\mathbf{C}^{-1}(\omega)) \mathbf{F}_{ext}^{in} \right]_i$$

Approche proposée

$$\left\{ \delta_{ij} \left[\left(\omega_{\phi_i}^{\Omega_1} \right)^2 (1 + 2i\omega \xi_{\phi_i}) - \omega^2 \right] - \left[\left(\omega^4 \mathbf{M}_{bfin}^{\Omega_1} \right) (\mathbf{C}^{-1}(\omega)) \left(\mathbf{M}_{bfin}^{\Omega_1} \right)^t \right]_{ij} \right\} a_j = \left[\mathbf{F}_{ext}^{bf} + \left(\omega^2 \mathbf{M}_{bfin}^{\Omega_1} \right) (\mathbf{C}^{-1}(\omega)) \mathbf{F}_{ext}^{in} \right]_i$$

- Système 2D – brochette avec une masse en tête;
- Mouvement dans la direction x;
- $\mathbf{K}^{int}(\omega)$:

$$[\mathbf{K}^{int}(\omega)]_{xx} = k_x^{int} (1 + 2i\xi_x^{int}) - \omega^2 m$$

$$[\mathbf{K}^{int}(\omega)]_{\theta_y \theta_y} = k_\theta^{int} (1 + 2i\xi_\theta^{int}) - \omega^2 I_\theta$$

Approche proposée

$$\left\{ \delta_{ij} \left[\left(\omega_{\phi_i}^{\Omega_1} \right)^2 (1 + 2i\omega\xi_{\phi_i}) - \omega^2 \right] - \left[\left(\omega^4 \mathbf{M}_{bfin}^{\Omega_1} \right) (\mathbf{C}^{-1}(\omega)) \left(\mathbf{M}_{bfin}^{\Omega_1} \right)^t \right]_{ij} \right\} a_j = \left[\mathbf{F}_{ext}^{bf} + \left(\omega^2 \mathbf{M}_{bfin}^{\Omega_1} \right) (\mathbf{C}^{-1}(\omega)) \mathbf{F}_{ext}^{in} \right]_i$$

- Système 2D – brochette avec une masse en tête
- Mouvement dans la direction x
- $\mathbf{K}^{int}(\omega)$:

$$\left[\mathbf{K}^{int}(\omega) \right]_{xx} = k_x^{int} (1 + 2i\xi_x^{int}) - \omega^2 m$$

$$\left[\mathbf{K}^{int}(\omega) \right]_{\theta_y \theta_y} = k_\theta^{int} (1 + 2i\xi_\theta^{int}) - \omega^2 I_\theta$$

La partie homogène de l'équation devient :

$$\left[1 + 2i\xi_{str} - \frac{\omega^2}{\omega_{\phi_1}^2} - \frac{\omega^2}{\omega_x^{int2}} (1 + i\xi_{\phi_1} - 2i\xi_x^{int}) - \frac{\omega^2}{\omega_\theta^{int2}} (1 + i\xi_{\phi_1} - 2i\xi_\theta^{int}) \right] a = 0$$

ou de manière équivalente :

$$\left[1 + 2i\xi^* - \frac{\omega^2}{\tilde{\omega}^2} f(\omega) \right] a = 0 \text{ and } \omega^* \in \mathbb{R}: \omega^* > 0 \text{ and } 1 - \left(\frac{\omega^*}{\tilde{\omega}} \right)^2 f(\omega^*) = 0$$

Approche proposée

Les termes ω^* and ξ^* représentent la fréquence équivalente et l'amortissement équivalent de l'ensemble du système:

$$\left\{ \begin{array}{l} \frac{1}{\tilde{\omega}^2} = \frac{1}{\omega_{\phi_1}^2} + \frac{1}{\omega_x^{int^2}} + \frac{1}{\omega_{\theta}^{int^2}} \\ \xi^* = \left(1 - \frac{\omega^{*2}}{\omega_x^{int^2} (1 + \omega^{*2}/\omega_{x0}^{int^2})} - \frac{\omega^{*2}}{\omega_{\theta}^{int^2} (1 + \omega^{*2}/\omega_{\theta 0}^{int^2})} \right) \xi_{\phi_1} + \frac{\omega^{*2}}{\omega_x^{int^2} (1 + \omega^{*2}/\omega_{x0}^{int^2})^2} \xi_x^{int} + \frac{\omega^{*2}}{\omega_{\theta}^{int^2} (1 + \omega^{*2}/\omega_{\theta 0}^{int^2})^2} \xi_{\theta}^{int} \\ f(\omega) = \frac{\tilde{\omega}^2}{\omega_{\phi_1}^2} + \frac{\tilde{\omega}^2}{\omega_x^{int^2}} \left(\frac{1}{1 + \omega^2/\omega_{x0}^{int^2}} \right) + \frac{\tilde{\omega}^2}{\omega_{\theta}^{int^2}} \left(\frac{1}{1 + \omega^2/\omega_{\theta 0}^{int^2}} \right) \end{array} \right.$$

où:

$$\left\{ \begin{array}{l} \omega_x^{int^2} = k_x^{int}/(M) \\ \omega_{\theta}^{int^2} = k_{\theta}^{int}/(Mh^2) \\ \omega_{x0}^{int^2} = k_x^{int}/(m); \omega_{\theta 0}^{int^2} = k_{\theta}^{int}/(I_m); \end{array} \right.$$

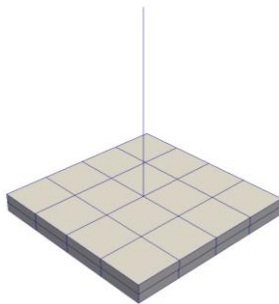
PARTIE 2
EXEMPLE STRUCTURAL

Objectif

Comprendre le comportement dynamique du modèle simplifié de l'interface table vibrante/structure en considérant un cas simple

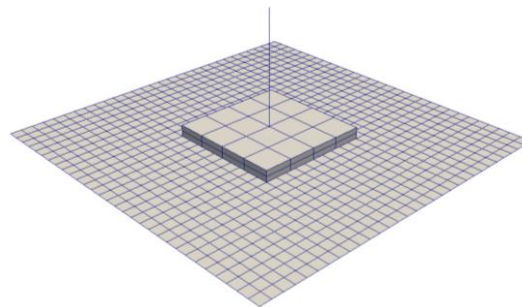
Cas d'étude

Cas 1



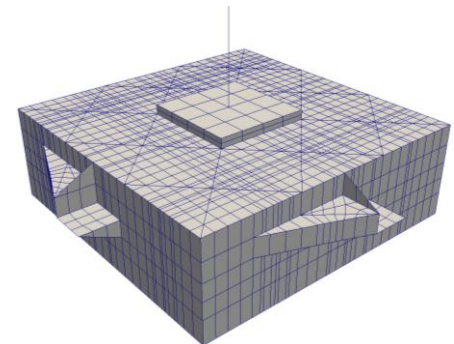
Base encastrée

Cas 2



Modèle simplifié

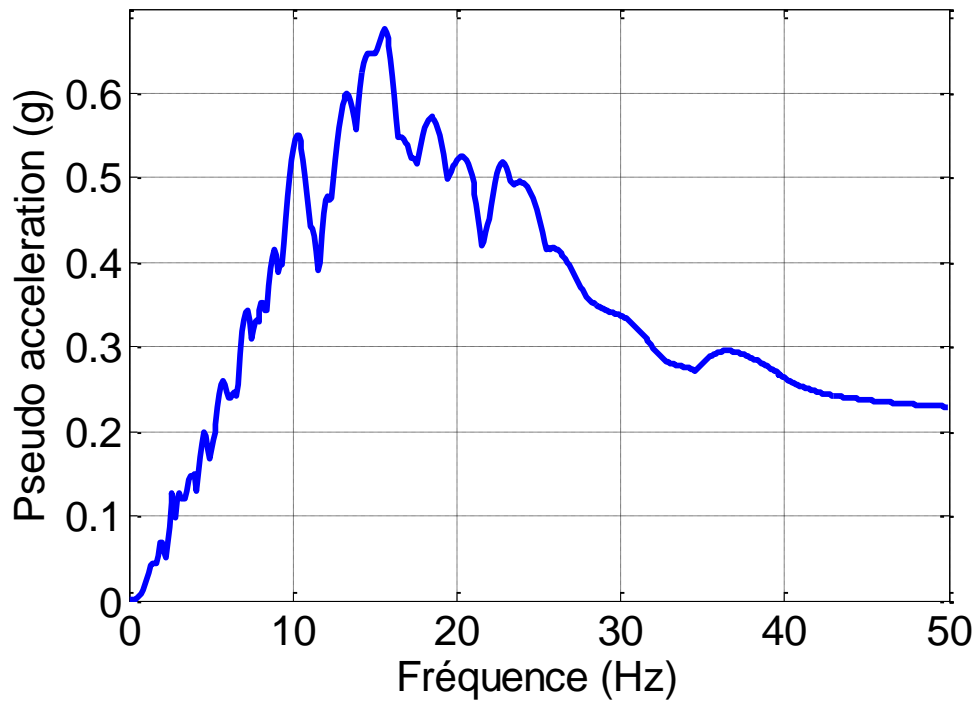
Cas 3



Model fin

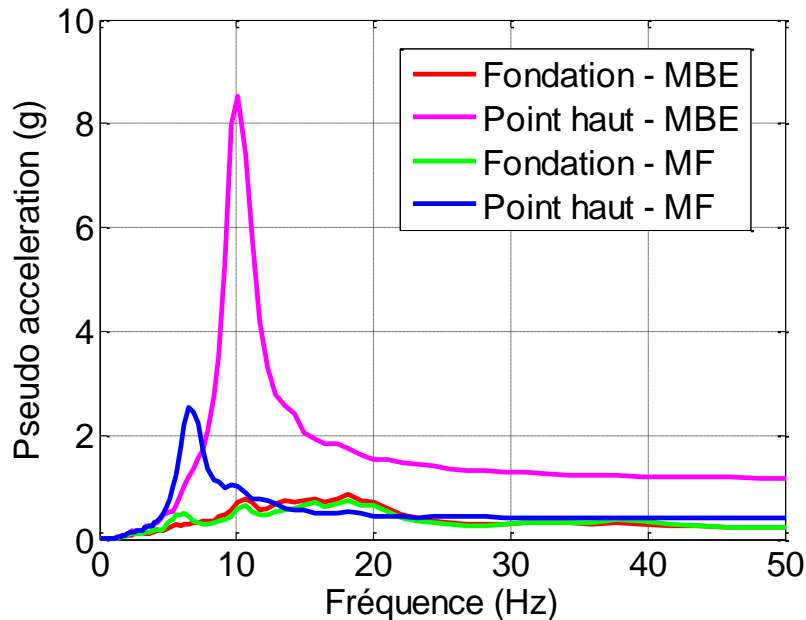
Description du chargement sismique

Signal synthétique généré à partir d'un spectre EC8 de dimensionnement – PGA 0.2g

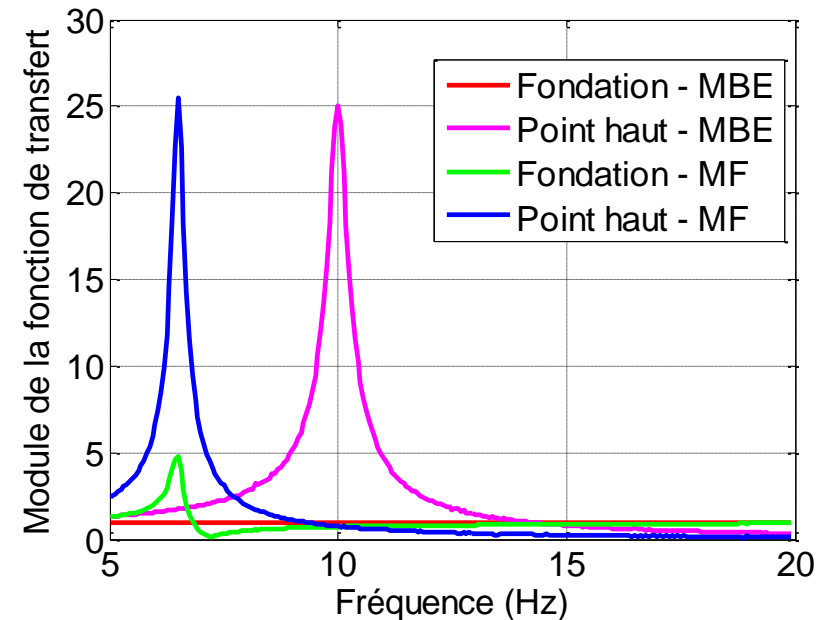


Modèle à base encastrée vs Modèle fin

Spectres de réponse



Fonctions de transfert (radier-sommet)



- ✓ Modèle à base encastrée:
 - ✓ Pas de chute e fréquence
 - ✓ Pas d'interaction
- ✓ Modèle fin
 - ✓ Chutede fréquence de 10 Hz à 6,5 Hz

Calibration du modèle simplifié

- ✓ Termes de rigidité;
- ✓ Termes de masse;
- ✓ Chargement imposé;
- ✓ Termes d'amortissement.

$$[K^{int}(\omega)]_{ii} = k_{ii}^{int} + i\omega c_{ii}^{int} - \omega^2 m_{ii}$$

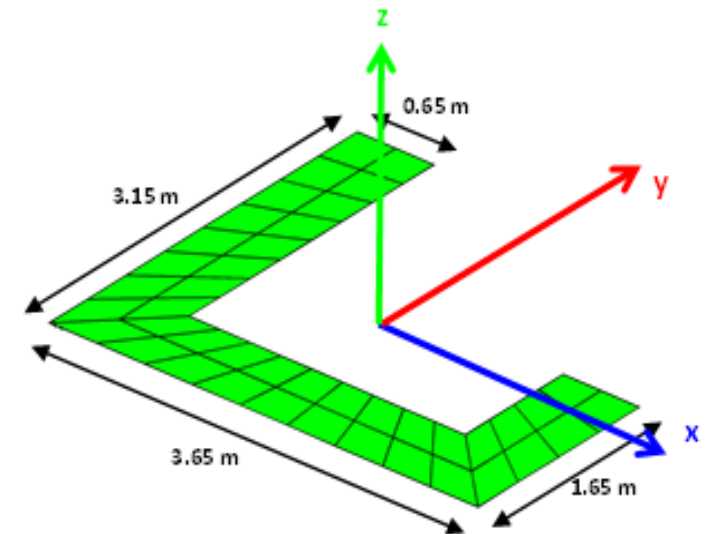
Calibration du modèle simplifié

- ✓ Termes de rigidité;
- ✓ Termes de masse;
- ✓ Chargement imposé;
- ✓ Termes d'amortissement.

Tests élémentaires:

- Force unitaire dans chaque direction;
- Force unitaire dans chaque direction;

	Translations X, Y, Z (Nm^{-1})	Rotations X, Y, Z (Nm)
Rigidité	$1.9287 \cdot 10^9$	$3.0033 \cdot 10^9$



Calibration du modèle simplifié

- ✓ Termes de rigidité;
- ✓ Termes de masse;
- ✓ Chargement imposé;
- ✓ Termes d'amortissement.

Iter 0: A partir des frequencies de reference f_1^R, \dots, f_n^R , une terme de masse m , une terme de rigidité k , et les matrices de rigidité K et M de la structure

Iter k: Calcul des modes propres $\phi_1^{(k)}, \dots, \phi_n^{(k)}$

Calcul des termes de rigidité généralisé $k_j^{(k)} = \phi_j^{(k)t} K \phi_j^{(k)}$

Calcul des termes de masse généralisée $m_j^{(k)} = \phi_j^{(k)t} M \phi_j^{(k)}$

Calcul des termes cibles de masse généralisée $m_j^{R,(k)} = \frac{k_j^{(k)}}{(2\pi f_j^R)^2}$

Calcul de la correction des termes de masse $\delta^{(k)} = \sum_{j=1}^n \frac{|m_j^{R,(k)} - m_j^{(k)}|}{m_j^{R,(k)}} \alpha_j$ α_j poids

Test de Convergence: **SI** $|f_j^R - f_j| > \epsilon$ **FAIRE** $\rho^{(k+1)} = \rho^0 (1 + \delta^k)$

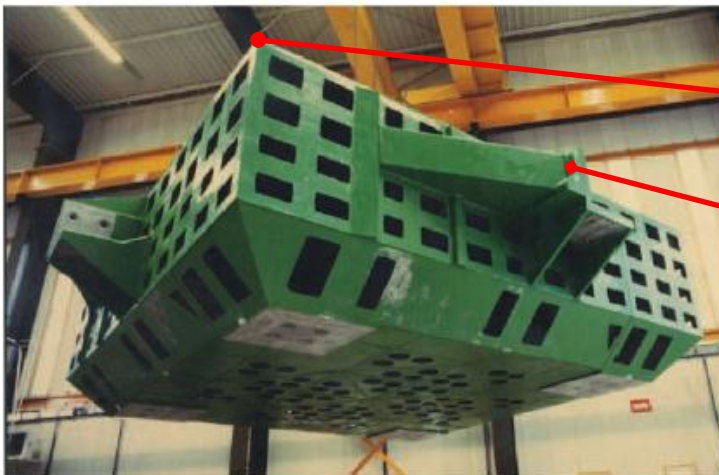
SINON pass a l'itération $k + 1$

Calibration du modèle simplifié

- ✓ Termes de rigidité;
- ✓ Termes de masse;
- ✓ **Chargement imposé;**
- ✓ Termes d'amortissement.

Observations

- Différences géométriques (les positions des vérins ne sont pas représentées dans le modèle simplifié)



$$H(\omega) = \frac{\gamma_{\text{Plateau}}}{\gamma_{\text{Verins}}}$$

Calibration du modèle simplifié

- ✓ Termes de rigidité;
- ✓ Termes de masse;
- ✓ Chargement imposé;
- ✓ Termes d'amortissement.

Principes

- Première possibilité: détermination expérimental des fonctions d'impédances relative aux mouvements de l'interface table/maquette:
 - Délicat à déterminer parce que les évolutions temporelles des déplacements et des forces au niveau de l'interface doivent être mesurées.

Calibration du modèle simplifié

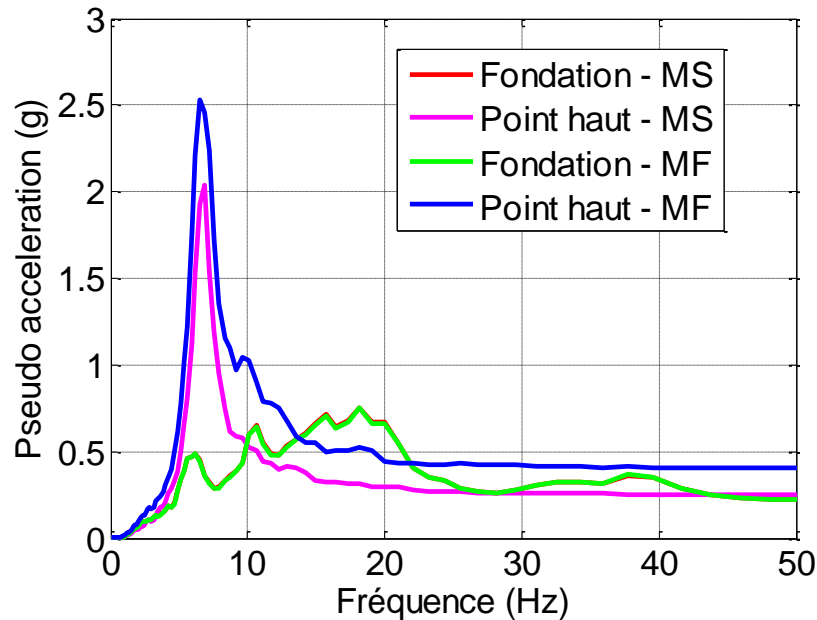
- ✓ Termes de rigidité;
- ✓ Termes de masse;
- ✓ Chargement imposé;
- ✓ Termes d'amortissement.

Principes

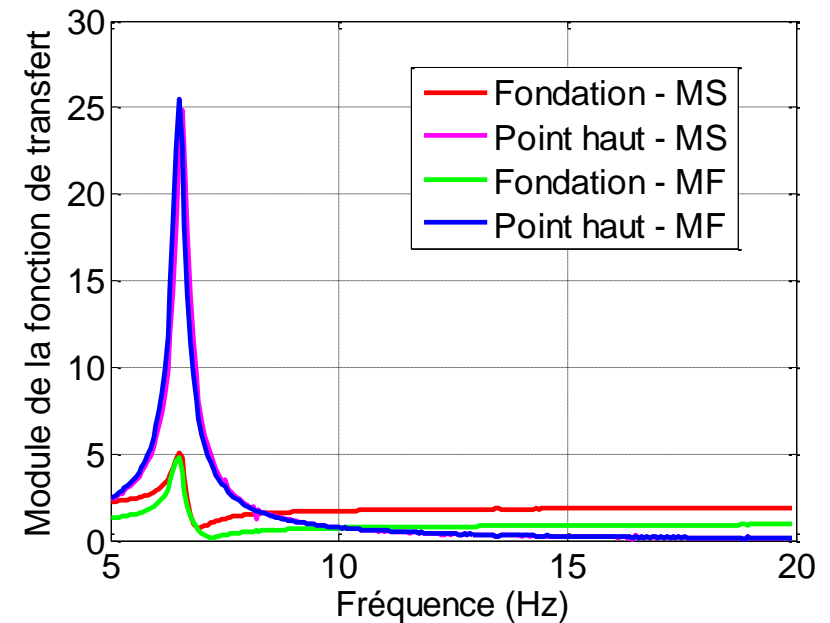
- Première possibilité: détermination expérimental des fonctions d'impédances relative aux mouvements de l'interface table/maquette:
 - Délicat à déterminer parce que les évolutions temporelles des déplacements et des forces au niveau de l'interface doivent être mesurées.
- Deuxième possibilité: détermination du taux d'amortissement de l'ensemble du système (table + maquette) par mesures expérimentales:
 - Un algorithme de minimisation similaire à celui présenté pour la calibration des termes de masses peut être utilisé

Modèle simplifié vs Modèle fin

Spectres de réponse



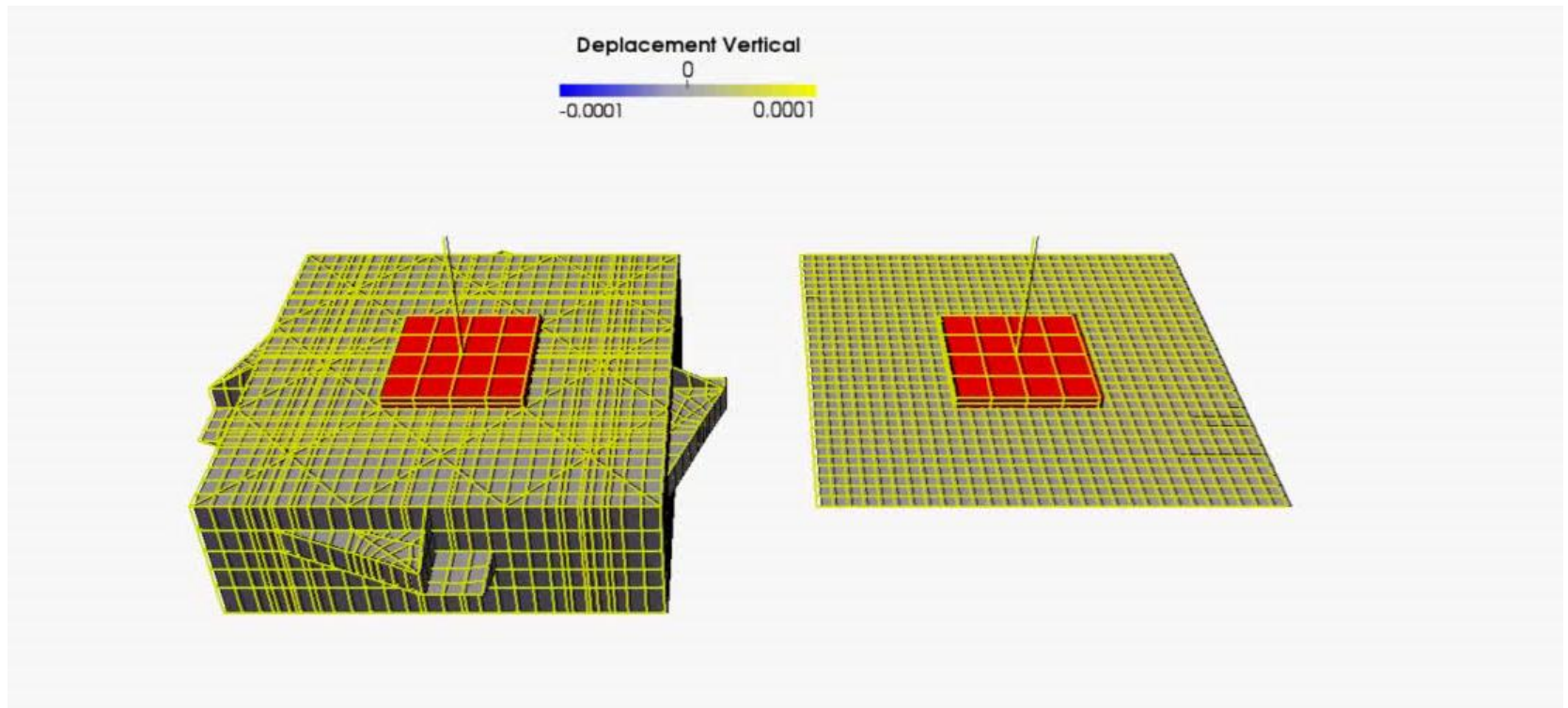
Fonctions de transfert (radier-sommet)



✓ Résultats similaires:

- ✓ Chute de fréquence;
- ✓ PGA;
- ✓ Amplification;

Animation



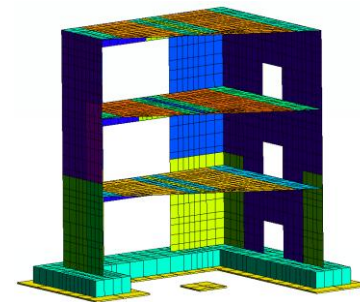
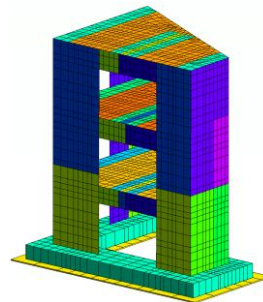
CONCLUSIONS ET PERSPECTIVES

Conclusions

- ✓ Un modèle simplifié de la table vibrante a été développé dans le cadre de la sous-structuration;
- ✓ Une stratégie de calibration a été proposée et implantée dans Cast3M;
- ✓ Les premiers résultats sont encourageants.

Perspectives

- ✓ Considérer des cas réels plus complexes (modes couplés)
- ✓ Campagnes expérimentales ENISTAT/SMART



Commissariat à l'énergie atomique et aux énergies alternatives
Centre de Saclay | 91191 Gif-sur-Yvette Cedex
T. +33 (0)1 69 08 76 74 | F. +33 (0)1 69 08 83 31

DEN
DM2S
SEMT

Etablissement public à caractère industriel et commercial | RCS Paris B 775 685 019